

Starkniederschlagshöhen und -spenden gemäß KOSTRA-DWD-2010R

Auswertungszeitraum von 1951 - 2010, Januar - Dezember

Rasterfeld: 28043

Zeile: 28

Spalte: 43

Seite: 1/2

| Dauerstufe D | Wiederkehrzeit T | | | | | | | | | | | | | | | | | | |
|--------------|------------------|------|------------|------|------------|------|------------|------|------------|------|------------|------|------------|------|------------|------|------------|------|------------|
| | 1 a | | 2 a | | 3 a | | 5 a | | 10 a | | 20 a | | 30 a | | 50 a | | 100 a | | |
| min | Std | mm | l / (s ha) | mm | l / (s ha) | mm | l / (s ha) | mm | l / (s ha) | mm | l / (s ha) | mm | l / (s ha) | mm | l / (s ha) | mm | l / (s ha) | mm | l / (s ha) |
| 5 | | 4,5 | 150,0 | 5,7 | 190,0 | 6,3 | 210,0 | 7,2 | 240,0 | 8,3 | 276,7 | 9,5 | 316,7 | 10,1 | 336,7 | 11,0 | 366,7 | 12,1 | 403,3 |
| 10 | | 7,2 | 120,0 | 8,9 | 148,3 | 9,9 | 165,0 | 11,1 | 185,0 | 12,8 | 213,3 | 14,5 | 241,7 | 15,5 | 258,3 | 16,7 | 278,3 | 18,4 | 306,7 |
| 15 | | 9,0 | 100,0 | 11,1 | 123,3 | 12,3 | 136,7 | 13,9 | 154,4 | 16,0 | 177,8 | 18,1 | 201,1 | 19,3 | 214,4 | 20,9 | 232,2 | 23,0 | 255,6 |
| 20 | | 10,3 | 85,8 | 12,7 | 105,8 | 14,2 | 118,3 | 16,0 | 133,3 | 18,5 | 154,2 | 21,0 | 175,0 | 22,4 | 186,7 | 24,2 | 201,7 | 26,7 | 222,5 |
| 30 | | 12,0 | 66,7 | 15,1 | 83,9 | 16,9 | 93,9 | 19,2 | 106,7 | 22,3 | 123,9 | 25,4 | 141,1 | 27,2 | 151,1 | 29,5 | 163,9 | 32,6 | 181,1 |
| 45 | | 13,4 | 49,6 | 17,3 | 64,1 | 19,6 | 72,6 | 22,5 | 83,3 | 26,4 | 97,8 | 30,3 | 112,2 | 32,5 | 120,4 | 35,4 | 131,1 | 39,3 | 145,6 |
| 60 | | 14,3 | 39,7 | 18,9 | 52,5 | 21,6 | 60,0 | 24,9 | 69,2 | 29,5 | 81,9 | 34,1 | 94,7 | 36,8 | 102,2 | 40,1 | 111,4 | 44,7 | 124,2 |
| 90 | | 15,7 | 29,1 | 20,4 | 37,8 | 23,2 | 43,0 | 26,7 | 49,4 | 31,4 | 58,1 | 36,2 | 67,0 | 38,9 | 72,0 | 42,4 | 78,5 | 47,2 | 87,4 |
| 120 | 2 | 16,8 | 23,3 | 21,6 | 30,0 | 24,5 | 34,0 | 28,0 | 38,9 | 32,9 | 45,7 | 37,7 | 52,4 | 40,6 | 56,4 | 44,2 | 61,4 | 49,0 | 68,1 |
| 180 | 3 | 18,4 | 17,0 | 23,4 | 21,7 | 26,4 | 24,4 | 30,1 | 27,9 | 35,1 | 32,5 | 40,1 | 37,1 | 43,1 | 39,9 | 46,8 | 43,3 | 51,8 | 48,0 |
| 240 | 4 | 19,7 | 13,7 | 24,8 | 17,2 | 27,8 | 19,3 | 31,6 | 21,9 | 36,8 | 25,6 | 41,9 | 29,1 | 44,9 | 31,2 | 48,7 | 33,8 | 53,9 | 37,4 |
| 360 | 6 | 21,6 | 10,0 | 26,9 | 12,5 | 30,0 | 13,9 | 34,0 | 15,7 | 39,3 | 18,2 | 44,6 | 20,6 | 47,7 | 22,1 | 51,7 | 23,9 | 57,0 | 26,4 |
| 540 | 9 | 23,7 | 7,3 | 29,2 | 9,0 | 32,4 | 10,0 | 36,5 | 11,3 | 42,0 | 13,0 | 47,5 | 14,7 | 50,8 | 15,7 | 54,8 | 16,9 | 60,3 | 18,6 |
| 720 | 12 | 25,3 | 5,9 | 31,0 | 7,2 | 34,3 | 7,9 | 38,4 | 8,9 | 44,1 | 10,2 | 49,7 | 11,5 | 53,0 | 12,3 | 57,2 | 13,2 | 62,9 | 14,6 |
| 1080 | 18 | 27,8 | 4,3 | 33,6 | 5,2 | 37,1 | 5,7 | 41,4 | 6,4 | 47,2 | 7,3 | 53,1 | 8,2 | 56,5 | 8,7 | 60,8 | 9,4 | 66,6 | 10,3 |
| 1440 | 24 | 29,7 | 3,4 | 35,7 | 4,1 | 39,2 | 4,5 | 43,6 | 5,0 | 49,6 | 5,7 | 55,6 | 6,4 | 59,1 | 6,8 | 63,5 | 7,3 | 69,5 | 8,0 |
| 2880 | 48 | 37,4 | 2,2 | 44,0 | 2,5 | 47,8 | 2,8 | 52,6 | 3,0 | 59,2 | 3,4 | 65,8 | 3,8 | 69,6 | 4,0 | 74,4 | 4,3 | 81,0 | 4,7 |
| 4320 | 72 | 42,8 | 1,7 | 49,7 | 1,9 | 53,7 | 2,1 | 58,8 | 2,3 | 65,7 | 2,5 | 72,6 | 2,8 | 76,6 | 3,0 | 81,7 | 3,2 | 88,6 | 3,4 |

Angaben in mm: Bemessungsniederschlagswerte h(n)

Angaben in l / (s ha): Regenspende R(n) mit $R(n) = h(n) \times 1,666667 / D[\text{min}]$

Toleranzbereiche:

+/- 10 % für $1 \text{ a} \leq T \leq 5 \text{ a}$

+/- 15 % für $5 \text{ a} < T \leq 50 \text{ a}$

+/- 20 % für $50 \text{ a} < T \leq 100 \text{ a}$

Datenbasis: KOSTRA-DWD-2010R des Deutschen Wetterdienstes. Die Regenspende wurde auf Basis des Bemessungsniederschlags zur jeweiligen Andauer berechnet.

Für die Richtigkeit und Aktualität der Angaben wird keine Gewähr übernommen. Erstellt 07/2022.

Starkniederschlagshöhen und -spenden gemäß KOSTRA-DWD-2010R

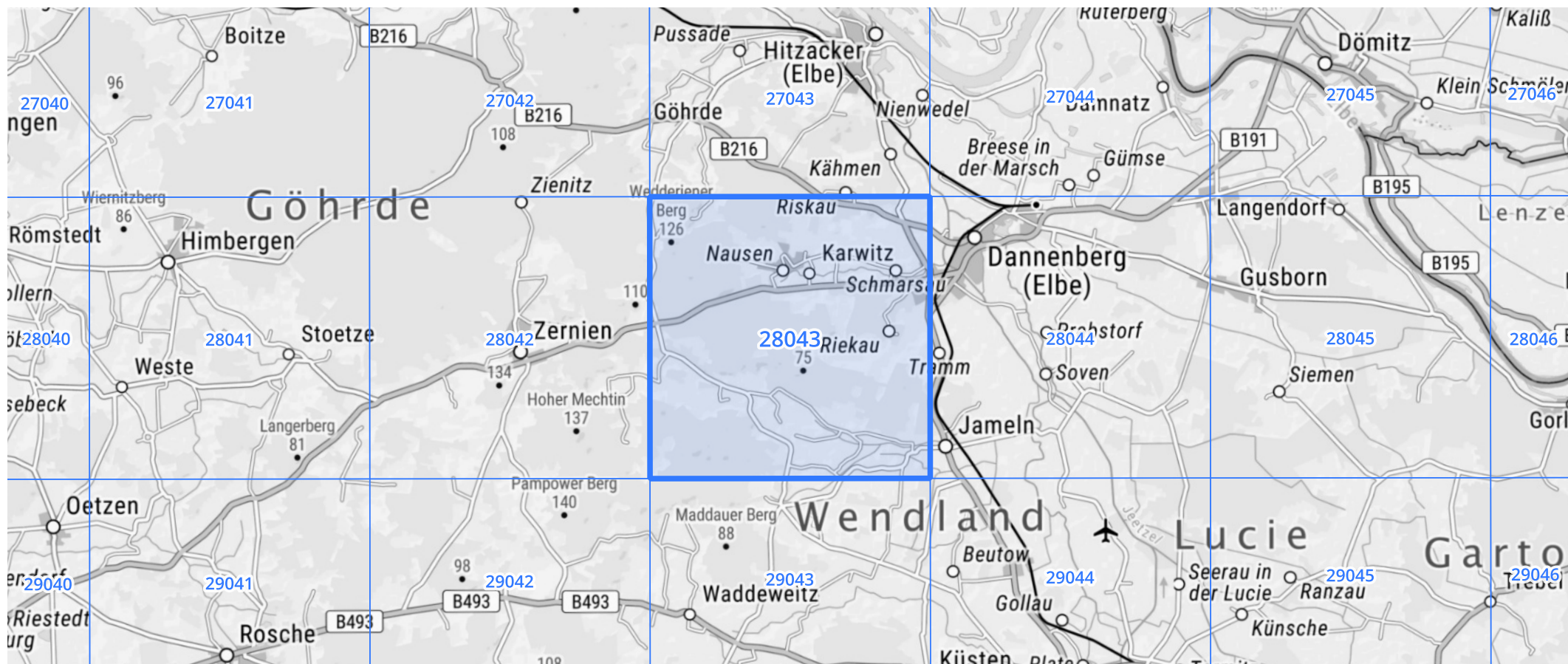
Auswertungszeitraum von 1951 - 2010, Januar - Dezember

Rasterfeld: 28043

Zeile: 28

Spalte: 43

Seite: 2/2



Quelle Rasterdaten: KOSTRA-DWD-2010R des Deutschen Wetterdienstes.

Kartendarstellung: © Bundesamt für Kartographie und Geodäsie (2022), Datenquellen: https://sgx.geodatenzentrum.de/web_public/gdz/datenquellen/Datenquellen_TopPlusOpen.html

Für die Richtigkeit und Aktualität der Angaben wird keine Gewähr übernommen. Erstellt 07/2022.